

ANALISIS DAYA DUKUNG PONDASI DANGKAL PADA TANAH LUNAK DI DAERAH DENGAN MUKA AIR TANAH DANGKAL (STUDI KASUS PADA DAERAH SUWUNG KAUH)

I Gusti Ngurah Putu Dharmayasa¹⁾

1) Dosen Jurusan Teknik Sipil Fakultas Teknik dan Informatika Universitas Pendidikan Nasional

ABSTRAK

Perencanaan pondasi perlu diperhatikan dalam perencanaan bangunan agar tercapai suatu kestabilan dan keamanan. Dalam perencanaan pondasi dipengaruhi oleh banyak faktor, diantaranya kondisi tanah. Dengan kondisi tanah yang berbeda dalam hal ini kedalaman yang berbeda dan dengan adanya muka air tanah yang dangkal mempengaruhi perencanaan pondasi. Seperti halnya tanah di daerah Suwung yang berdaya dukung rendah dengan muka air tanah yang cukup dangkal, sehingga perlu diketahui tipe pondasi dangkal yang dapat memenuhi syarat untuk kondisi tanah di Suwung. Untuk mengetahui karakteristik tanah dilakukan dengan pengujian di laboratorium yaitu pegujian sifat fisik dan mekanik. Pengujian sifat fisik tanah yaitu pengujian kadar air (W_c), berat jenis (G_s), batas-batas Aterberg dan berat volume tanah (γ). Pegujian mekanik dengan tes triaksial UU.

Berdasarkan tes triaksial UU yang dilakukan di laboratorium diperoleh daya dukung tanah (q_u), nilai kohesi (c), dengan sudut geser (ϕ) untuk tanah yang terletak di atas muka air tanah yaitu tanah pada kedalaman 1 meter dan tanah yang terletak di bawah muka air tanah yaitu tanah pada kedalaman 2 dan 4 meter. Dari nilai daya dukung tanah yang dihitung dengan rumus Terzaghi, diperoleh besarnya nilai daya dukung tanah terendah pada kedalaman 1 meter sebesar $54,09 \text{ kN/m}^2$, nilai daya dukung terendah pada kedalaman 2 meter sebesar $57,37 \text{ kN/m}^2$ dan pada kedalaman 4 meter diperoleh daya dukung terendah $66,51 \text{ kN/m}^2$. Hasil perhitungan menunjukkan bahwa perencanaan pondasi telapak biasa dengan beban aksial kolom yang cukup besar $P = 2253,122 \text{ kN}$ tidak memenuhi syarat, karena akan menutupi lebih dari sebagian areal bangunan, sehingga dalam hal ini sebaiknya dipergunakan jenis pondasi dangkal yang lain yaitu pondasi pelat. Pondasi pelat yang direncanakan adalah pondasi pelat dengan balok. Pondasi pelat direncanakan pada kedalaman 1 meter karena daya dukung tanah telah memenuhi syarat. Setelah melakukan perhitungan maka diperoleh bahwa pondasi pelat dengan balok dengan tebal pelat 25 cm dan balok pondasi $45 \text{ cm} \times 90 \text{ cm}$, dapat memenuhi persyaratan sesuai daya dukung tanah yang diijinkan.

Kata kunci: pondasi dangkal, lempung lunak, muka air tanah dangkal.

1 PENDAHULUAN

Semua konstruksi bangunan sipil akan ditopang oleh tanah, termasuk gedung-gedung, jembatan, jalan dan berbagai bangunan air seperti bendungan dan saluran-saluran irigasi. Oleh karena itu kondisi tanah dasar sangat mempengaruhi kestabilan dan keamanan konstruksi bangunan diatasnya.

Salah satu unsur bangunan yang langsung berhubungan dengan tanah dasar adalah pondasi karena pondasi merupakan struktur terbawah dari suatu bangunan yang akan meneruskan beban-beban bangunan ke tanah atau batuan yang ada di bawahnya. Sehingga dalam perencanaan pondasi sangat diperlukan pengetahuan mengenai jenis tanah dasar di lokasi suatu bangunan yang akan dibangun.

Kondisi tanah dasar di suatu tempat berbeda-beda, maksudnya adalah kemungkinan jenis tanah pada kedalaman tertentu di suatu lokasi berbeda-beda atau juga kemungkinan kepadatan tanahnya berbeda-beda. Terlebih lagi apabila muka air tanah di lokasi tersebut dangkal, sehingga pada kedalaman tertentu tanah lempung tersebut selalu terendam air. Dengan adanya perbedaan kondisi tanah sebagaimana tersebut diatas maka akan sangat mempengaruhi daya dukung

tanah dalam menerima beban sebagai akibat dari jenis tanah dan kepadatan yang berbeda serta adanya perubahan kadar air tanah.

Apabila pada tanah lempung tersebut direncanakan suatu bangunan dengan pondasi dangkal, maka tipe pondasi seperti apakah yang memenuhi syarat untuk bangunan tersebut.

2 LANDASAN TEORI

2.1 Identifikasi Tanah

Tanah didefinisikan sebagai akumulasi mineral yang tidak mempunyai atau lemah ikatan antar partikelnya, yang terbentuk karena pelapukan dari batuan. Di antara partikel-partikel tanah terdapat ruang kosong yang disebut pori-pori (*void space*) yang berisi air dan atau udara. Ikatan yang lemah antara partikel-partikel tanah disebabkan oleh pengaruh karbonat atau oksida yang senyawanya di antara partikel-partikel tersebut, atau dapat juga disebabkan oleh adanya material organik (R.F. Craig, 1984).

Sifat-sifat dan karakter tanah tergantung dari kondisi tofografi dan geologi yang membentuk tanah tersebut. Sifat-sifat fisik tanah banyak tergantung dari faktor ukuran, bentuk dan komposisi kimia butiran.

Tabel 1 Batasan – Batasan Ukuran Golongan Tanah

| Nama Golongan | Ukuran Butiran (mm) | | | |
|---|---------------------|--------------|---|---------|
| | Kerikil | Pasir | Lanau | Lempung |
| Massachusetts Institut Of Technology | >2 | 2 - 0,006 | 0,006 - 0,002 | < 0,002 |
| U.S. Department of Agriculture (USDA) | >2 | 2 - 0,005 | 0,005 - 0,002 | <0,002 |
| American Association Of State Highway And Transportation Official (AASHTO) | 76,2 - 2 | 2 - 0,075 | 0,075 - 0,002 | <0,002 |
| Unified Soil Classification System (U.S. Army Corps Of Engineers, U.S. Bureau Of Reclamation) | 76,2 – 4,75 | 4,75 - 0,075 | Halus (Yaitu lanau dan lempung) <0,0075 | |

Sumber: Braja M. Das, 1993

2.2 Penyelidikan Tanah

Penyelidikan tanah penting dilakukan karena digunakan sebagai dasar dalam merencanakan suatu bangunan agar bangunan tersebut stabil, aman dan ekonomis. Tujuan penyelidikan tanah antara lain:

1. Menentukan sifat-sifat fisik dan mekanik tanah.
2. Menetukan daya dukung tanah
3. Menentukan tipe pondasi yang akan digunakan disesuaikan dengan daya dukung tanah.

Penyelidikan tanah dapat dilakukan langsung di lapangan dan dapat juga dilakukan di laboratorium.

Penyelidikan tanah di lapangan dapat dilakukan dengan cara boring, CBR, SPT, Test Pembebatan dan lain-

lainnya. Untuk memperoleh contoh tanah asli dalam tugas akhir ini dilakukan dengan cara boring, dengan mengambil contoh tanah di atas muka air tanah dan di bawah muka air tanah. Selanjutnya contoh tanah tersebut diuji di laboratorium. Penyelidikan tanah di laboratorium dapat berupa tes fisik dan tes mekanik tanah. Test fisik meliputi tes kadar air (W_c), berat jenis (G_s) atau “*specific gravity*”, batas-batas Atterberg, berat volume tanah serta tes mekanik tanah yaitu tes triaksial.

Kadar air (W_c) didefinisikan sebagai perbandingan berat antara air dan tanah dengan bagian yang padat (*solid*).

$$(W_c) = \frac{\text{Berat Air (}W_w\text{)}}{\text{Berat Tanah Kering (}W_s\text{)}} \times 100\%$$

Berat jenis atau (G_s) atau “*specific gravity*” adalah perbandingan antara butiran tanah dengan air suling (destilasi) dengan volume yang sama pada temperatur tertentu.

Berat jenis dapat dinyatakan dengan rumus:

$$G_s = \frac{\text{Berat Butir}}{\text{Berat Air Destilasi Dengan Volume Sama}}$$

$$G_s = \frac{(W_2 - W_1)}{(W_4 - W_1) - (W_3 - W_2)}$$

Batas-batas Atterberg meliputi: batas cair (*liquid limit*), batas plastis (*plastic limit*), batas susut (*shrinkage limit*) dan indeks plastisitas (*plasticity index*).

$$PI = LL - PL$$

Berat volume tanah adalah merupakan perbandingan antara berat tanah basah dengan volumenya.

$$\text{Berat Volume } (\gamma) = \frac{\text{Berat Tanah}}{\text{Volume Tanah}}$$

Tes triaksial merupakan salah satu cara penyelidikan tanah yang dilakukan di laboratorium dengan maksud untuk memperoleh parameter-parameter daya dukung tanah. Dari test triaksial ini dianggap dapat diperoleh parameter-parameter yang lebih baik daripada uji geser yang lainnya. Keuntungan tes triaksial adalah:

1. Kondisi pengaliran dapat dikontrol.
2. Tekanan air pori dapat diukur.
3. Tanah jenuh dengan permeabilitas rendah dapat dibuat terkonsolidasi.

Pada tes triaksial ada tiga jenis pengujian pokok:

1. Tak terkonsolidasi tak terdrainase (*unconsolidated undrained*) yaitu pengujian tanpa adanya drainase air pori. Kontrol drainase diperoleh dari pemakaian suatu sistem tertutup ataupun dari tingkat regangan yang tinggi, sehingga kerutuhan yang terjadi lebih cepat dari yang terdrainase.
2. Terkonsolidasi tak terdrainase (*consolidated undrained*) yaitu pengujian contoh tanah dengan tegangan-tegangan yang terdapat kesegala arah dengan drainase diperbolehkan terjadi. Apabila perubahan volume telah selesai yang diketahui dari pengukuran volume ataupun pengukuran drainase pori, lalu saluran keluar untuk drainase ditutup dan contoh dibebani sampai runtuh. Kadang-kadang tekanan pori juga diukur.

Terkonsolidasi terdrainase (*consolidated drained*) yaitu pengujian yang hampir sama dengan uji CU, kecuali bahwa sesudah konsolidasi drainase diperbolehkan terjadi selama pembebahan. Tingkat pembebahan cukup lambat sehingga tekanan pori yang besar tidak akan terjadi.

2.3 Analisis Daya Dukung Terzaghi

Terzaghi (1943) menganalisis daya dukung tanah dengan anggapan pondasi berbentuk memanjang tak terhingga dengan lebar lebar B dan terletak di atas tanah homogen.

$$q_{ult} = c N_c + Df \gamma N_q + 0,5 \gamma B N_\gamma$$

dengan:

| | | |
|----------------------|---|-------------------------------|
| q_{ult} | = | daya dukung ultimit/ batas |
| c | = | kohesi |
| Df | = | kedalaman pondasi |
| B | = | lebar pondasi |
| γ | = | berat volume tanah |
| N_c, N_q, N_γ | = | faktor daya dukung tanah |

Untuk pondasi berbentuk bujur sangkar dan lingkaran, persamaan daya dukung batas yang disarankan oleh Terzaghi adalah sebagai berikut:

1. Pondasi bujur sangkar:

$$q_{ult} = 1,3 c N_c + Df \gamma N_q + 0,4 \gamma B N_\gamma$$

2. Pondasi lingkaran:

$$q_{ult} = 1,3 c N_c + Df \gamma N_q + 0,3 \gamma B N_\gamma$$

dengan B adalah diameter pondasi (untuk lingkaran).

Persamaan di atas digunakan dengan anggapan bahwa jenis keruntuhan tanah di bawah pondasi adalah keruntuhan geser umum (*general shear failure*). Sedangkan untuk kondisi keruntuhan geser setempat (*local shear failure*) persamaan untuk pondasi memanjang dinyatakan dengan:

$$q'_{ult} = c' N'_c + Df \gamma N'_q + 0,4 \gamma B N'_\gamma$$

$$\text{dengan } c' = \frac{2}{3} c$$

Sedangkan daya dukung batas dari tanah untuk pondasi dengan bentuk bujur sangkar dan lingkaran untuk kondisi keruntuhan geser setempat adalah sebagai berikut:

1. Pondasi bujur sangkar:

$$q_{ult} = 1,3 c N_c + Df \gamma N_q + 0,4 \gamma B N_\gamma$$

2. Pondasi lingkaran:

$$q_{ult} = 1,3 c N_c + Df \gamma N_q + 0,3 \gamma B N_\gamma$$

Tabel 2. Nilai Faktor Daya Dukung Tanah Terzaghi

| Φ | Keruntuhan Geser Umum | | |
|--------|-----------------------|-------|------------|
| | N_c | N_q | N_γ |
| 0 | 5,7 | 1 | 0 |
| 5 | 7,3 | 1,6 | 0,5 |
| 10 | 9,6 | 2,7 | 1,2 |
| 15 | 12,9 | 4,4 | 2,5 |
| 20 | 17,7 | 7,4 | 5 |
| 25 | 25,1 | 12,7 | 9,7 |
| 30 | 37,2 | 22,5 | 19,7 |
| 34 | 52,6 | 36,5 | 35 |
| 35 | 57,8 | 41,4 | 42,4 |
| 40 | 95,7 | 81,3 | 100,4 |
| 45 | 172,3 | 173,3 | 297,5 |
| 48 | 258,3 | 287,9 | 780,1 |
| 50 | 347,6 | 415,1 | 1153,2 |

Sumber: I W. Redana (2010)

2.4 Pengaruh Muka Air Tanah

Pengaruh muka air tanah terhadap daya dukung tanah:

1. Jika muka air tanah sangat dalam jika dibandingkan lebar pondasi ($z > B$) maka:

$$q_{ult} = c N_c + D_f \gamma_b N_q + 0,5 \gamma_b B N_\gamma$$

2. Jika muka air tanah terletak di atas atau sama dengan dasar pondasinya maka:

$$q_{ult} = c N_c + [\gamma' (D_f - d_w) + \gamma_b d_w] N_q + 0,5 \gamma' B N_\gamma$$

3. Jika muka air tanah di permukaan ($d_w = 0$)

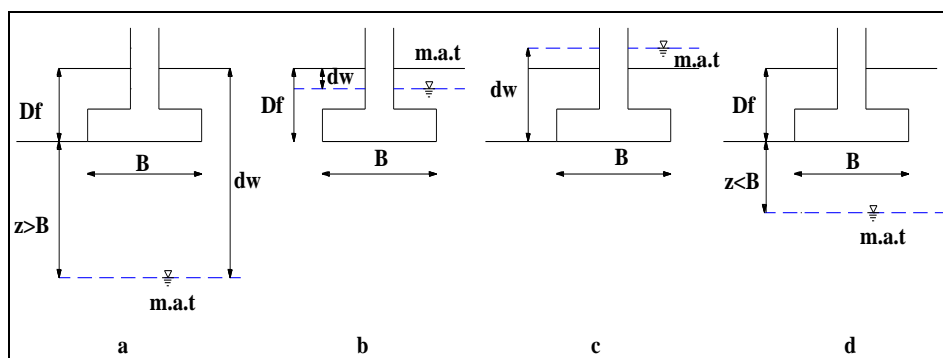
$$q_{ult} = c N_c + D_f \gamma' N_q + 0,5 \gamma' B N_\gamma$$

4. Jika muka air tanahnya terletak pada kedalaman z dari bawah dasar pondasi ($z < B$), maka:

$$q_{ult} = c N_c + D_f \gamma_b N_q + 0,5 \gamma_r B N_\gamma$$

dengan:

| | |
|-----------------|--|
| q_{ult} | = daya dukung ultimit tanah |
| c | = nilai kohesi tanah |
| N_c, N_q, N_f | = faktor-faktor daya dukung tanah |
| D_f | = kedalman pondasi |
| B | = lebar pondasi |
| γ_b | = berat volume tanah basah |
| γ' | = berat volume tanah efektif |
| d_w | $= \gamma_{sat} - \gamma_{air}$ = kedalaman muka air tanah dari permukaan |
| γ_r | = berat volume tanah rata-rata $= \gamma' + (z/B)(\gamma_b - \gamma')$ |



Gambar 1. Pengaruh Muka Air Tanah Pada Daya Dukung

3 METODELOGI PENELITIAN

3.1 Pemilihan Lokasi

Pengambilan sampel tanah dilakukan di daerah Suwung Kauh. Lokasi ini dipilih karena memiliki tanah lempung yang sesuai dengan kondisi tanah yang akan diteliti karena di daerah suwung kondisi muka air

tanahnya sering mengalami perubahan. Hal ini disebabkan karena daerah suwung dipengaruhi oleh pasang surut air laut. Ketika air laut pasang muka air tanah akan naik sedang ketika surut muka air tanah turun.

3.2 Metode Pengambilan Sampel

Pengambilan sampel tanah dilakukan dengan cara random (acak), mengingat daerah suwung daerahnya sangat luas. Sampel diambil dari tiga titik di daerah suwung. Cara pengambilan sampel dengan boring dengan tiap titik pengeboran diambil contoh tanah diatas muka air tanah dan dibawah muka air tanah. Waktu pengambilan sampel diusahakan antara pukul 08.00 – 11.00 wita dengan maksud mengurangi pengaruh panas matahari terhadap sampel yang diambil.

3.3 Merencanakan Pondasi Telapak

Langkah-langkah perencanaan pondasi telapak meliputi:

1. Menentukan besarnya momen dan beban yang bekerja pada kolom
2. Menentukan dimensi dari pondasi telapak sesuai dengan persamaan:

$$A = \frac{\Sigma V}{q_a}$$

3. Kontrol dimensi pondasi yang diperoleh dengan tegangan ijin tanahnya.

Untuk beban yang bekerja pada kolom dan tidak mengalami eksentrisitas digunakan persamaan:

$$q = \Sigma V/A$$

Untuk beban yang bekerja pada kolom dengan mengalami eksentrisitas dua arah digunakan persamaan:

$$q = \frac{\Sigma V}{A} \pm \frac{M_x \cdot \frac{1}{2} by}{\frac{1}{12} \cdot bx \cdot by^3} \pm \frac{M_y \cdot \frac{1}{2} bx}{\frac{1}{12} \cdot by \cdot bx^3}$$

Untuk beban yang bekerja pada kolom dan mengalami eksentrisitas disalah satu sisinya dapat digunakan persamaan:

$$q = \frac{\Sigma V}{A} \pm \left[1 \pm \frac{6 \cdot ex}{L} \right]$$

dan persamaan:

$$q = \frac{4 \cdot \Sigma V}{3 \cdot B(L - 2 \cdot ex)}$$

3.4 Perencanaan Pondasi Pelat dengan Balok

Perencanaan Pondasi Pelat dengan Balok dilakukan dengan tujuan untuk mendapatkan tebal pelat yang lebih tipis namun tetap dapat memikul geser pons. Adapun langkah-langkah perencanaan pondasi pelat dengan balok yaitu:

1. Menghitung tebal pelat dengan balok yang menghubungkan tumpuan pada semua sisi berdasarkan SKSNI T-15 – 1991 – 03.
2. Menghitung total beban yang bekerja.
3. Menghitung tegangan tanah yang terjadi. Untuk mengontrol tegangan tanah yang terjadi maka ditinjau titik yang paling kritis pada sudut-sudut pelat pondasi.

$$q_{max} = \frac{P}{A} \pm \frac{M_x \times y}{I_x} \pm \frac{M_y \times x}{I_y} < q_a$$

4. Menghitung tebal rencana pelat.

Menurut SK SNI T-15-1991-03 tebal pelat harus memenuhi aturan sebagai berikut:

- a. Tidak boleh kurang dengan nilai yang didapat dari:

$$t = \frac{\ln\left(0,8 + \frac{f_y}{1500}\right)}{36 + 5\beta \left[\alpha_m - 0,12 \left(1 + \frac{1}{\beta} \right) \right]}$$

- b. Tidak boleh kurang dari:

$$t = \frac{\ln\left(0,8 + \frac{f_y}{1500}\right)}{36 + 9\beta}$$

- c. Tidak perlu lebih dari:

$$t = \frac{\ln\left(0,8 + \frac{f_y}{1500}\right)}{36}$$

- d. Dalam segala hal tmin pelat tidak boleh kurang dari:

$$\alpha_m < 2,0 \Rightarrow t_{min} = 12,00 \text{ mm}$$

$$\alpha_m < 2,0 \Rightarrow t_{min} = 9,00 \text{ mm}$$

dengan:

t = tebal pelat

f_y = tegangan leleh baja

\ln = bentang bersih terpanjang diantara balok penumpu pelat
 α_m = nilai rata-rata dari α
 α = rasio kekakuan lentur penampang balok dengan kekakuan lentur pelat dengan lebar yang diimbangi secara lateral oleh garis sumbu dari panel yang bersebelahan pada setiap sisi balok.

$$= \frac{E_{cb} \times I_{cb}}{E_{cs} \times I_{cs}}$$

dengan:

E_{cs} = modulus elastisitas pelat

E_{cb} = modulus elastisitas balok

I_{cb} = momen inersia balok

I_{cs} = momen inersia pelat

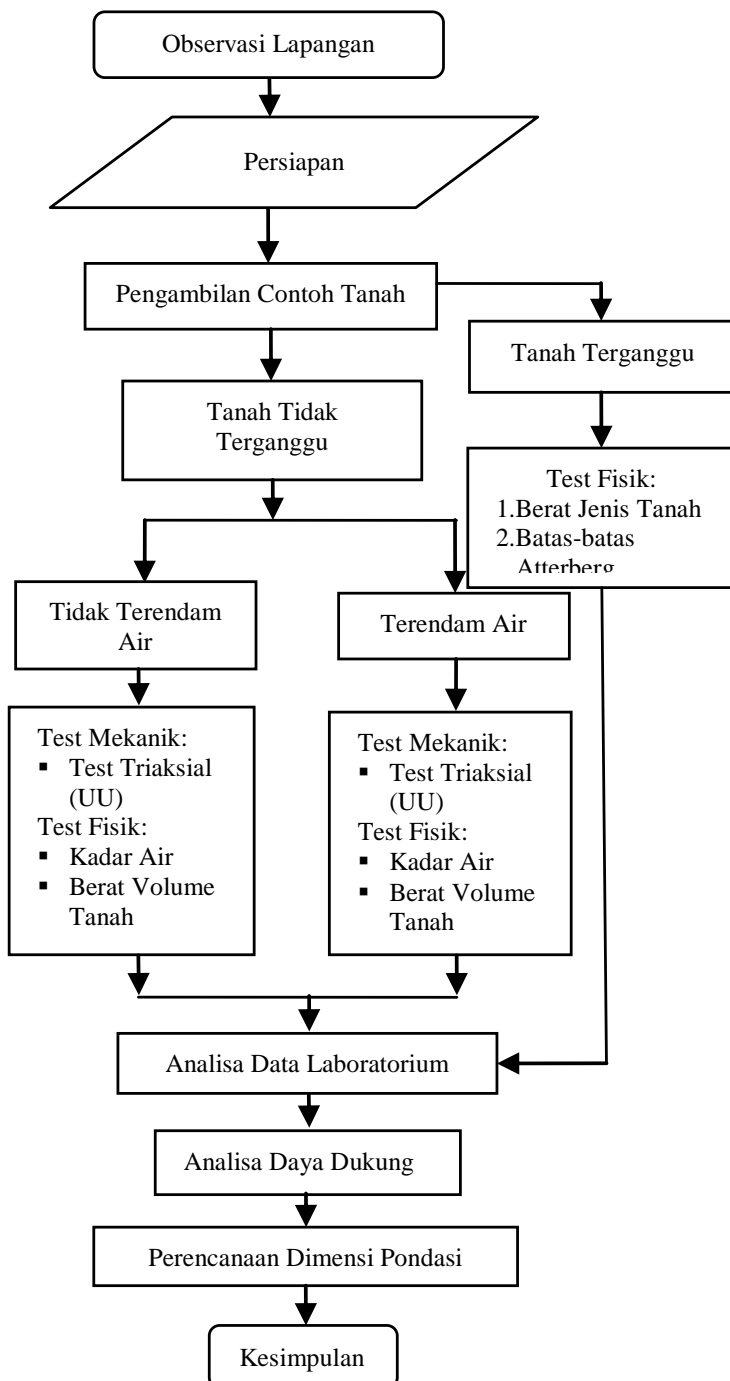
β = rasio dari bentang bersih dalam arah panjang (\ln) terhadap arah pendek

e. Menghitung tulangan lentur pondasi pelat.

f. Menghitung balok pondasi.

g. Menghitung tulangan lentur balok.

h. Menghitung penulangan geser balok.



Gambar 2. Diagram alir (flowchart) penelitian

4 HASIL PENELITIAN DAN PEMBAHASAN

4.1 Penyelidikan Kadar Air (*Water Content*)

Penyelidikan kadar air menggunakan contoh tanah tidak terganggu (*undisturb*). Nilai rata-rata hasil penyelidikan kadar air ditampilkan dalam Tabel 3.

4.2 Berat Jenis (Spesific Gravity)

Penyelidikan berat jenis menggunakan contoh tanah terganggu (*disturb*). Nilai rata-rata hasil penyelidikan berat jenis tanah ditampilkan dalam Tabel 4.

4.3 Berat Volume Tanah

Pemeriksaan berat volume tanah dilakukan dengan menggunakan contoh tanah tidak terganggu (*undisturb*) dari kedalaman 1 meter, 2 meter dan 4 meter. Hasil pemeriksaan berat volume tanah dapat dilihat pada Tabel 5.

4.4 Batas-Batas Atterberg

Rangkuman hasil penelitian mengenai batas cair dapat dilihat dalam Tabel 6. Rangkuman hasil penelitian mengenai batas cair dapat dilihat dalam Tabel 7. Hasil penelitian batas susut ditampilkan pada Tabel 9.

4.5 Tes Triaksial UU (*Undrained Unconsolidated*)

Tes triaksial ini dilakukan terhadap contoh tanah tidak terganggu (*undisturb sampel*). Dari tiap contoh tanah pada tiap lokasi dan kedalaman yang berbeda diambil masing-masing tiga benda uji. Tiap satu benda uji dari kedalaman dan titik yang berbeda tersebut diberikan

tekanan sel (σ_3) yang berbeda-beda yaitu 0.6 kg/cm^2 , 1.2 kg/cm^2 , 1.8 kg/cm^2 .

4.6 Analisis Daya Dukung Ijin Tanah

Daya dukung yang ditinjau adalah kedudukan tanah terhadap muka air tanah dengan kedalaman muka air tanah di lokasi pengambilan sampel (z) = 1.5 meter. Perhitungan daya dukung pada kedalaman 1 meter dari permukaan tanah untuk tanah yang terletak di atas muka air tanah dan daya dukung tanah pada kedalaman 2 meter dan 4 meter untuk di bawah muka air tanah. Dalam perhitungan daya dukung ini dilakukan dengan rumus Terzaghi.

4.7 Perencanaan Pondasi Pelat dengan Balok

Luas pondasi yang direncanakan (A) = $38 \times 24 \text{ m}^2 = 912 \text{ m}^2$. Besar beban yang bekerja : $\sum P = 46235,664 \text{ kN}$, $M_x = 0$ dan $M_y = 0$.

Untuk mengontrol tegangan tanah yang terjadi, dapat ditinjau lokasi titik yang paling kritis yaitu pada masing-masing sudut pelat. Untuk kedalaman 1 meter titik 1:

$$q_{\max} = \frac{46235,664}{912} + \frac{0 \times 12}{\frac{1}{12} \times 24 \times 38^3} + \frac{0 \times 19}{\frac{1}{12} \times 38 \times 24^3}$$

$$q_{\max} = 50,697 \text{ kN/m}^2 < q_a = 54,09 \text{ kNm (ok)}$$

Untuk hasil perhitungan tegangan tanah diperlihatkan pada Gambar 3.

4.8 Hasil perhitungan Penulangan Pelat dan Balok Pondasi

Hasil penulangan pelat pondasi dan balok pondasi ditampilkan dalam Tabel 14-Tabel 21.

Tabel 3. Rangkuman Hasil Penyelidikan Kadar Air

| Kedalaman (m) | Lokasi pengambilan contoh tanah | Kadar air (%) |
|---------------|---------------------------------|---------------|
| 1 | 1 | 36.50 |
| | 2 | 33.20 |
| | 3 | 31.20 |
| 2 | 1 | 41.40 |
| | 2 | 41.90 |
| | 3 | 42.14 |
| 3 | 1 | 50.23 |
| | 2 | 50.61 |
| | 3 | 49.50 |

Tabel 4. Rangkuman Hasil Penyelidikan Berat Jenis

| Kedalaman (m) | Lokasi pengambilan contoh tanah | Berat Jenis (gr/cm ³) |
|---------------|---------------------------------|-----------------------------------|
| 1 | 1 | 2.66 |
| | 2 | 2.45 |
| | 3 | 2.55 |
| 2 | 1 | 2.52 |
| | 2 | 2.50 |
| | 3 | 2.54 |
| 3 | 1 | 2.52 |
| | 2 | 2.42 |
| | 3 | 2.64 |

Tabel 5. Rangkuman Hasil Penyelidikan Berat Voume Tanah

| Kedalaman (m) | Lokasi pengambilan contoh tanah | Berat Volume (gr/cm ³) |
|---------------|---------------------------------|------------------------------------|
| 1 | 1 | 1.51 |
| | 2 | 1.48 |
| | 3 | 1.51 |
| 2 | 1 | 1.56 |
| | 2 | 1.61 |
| | 3 | 1.61 |
| 3 | 1 | 1.48 |
| | 2 | 1.48 |
| | 3 | 1.53 |

Tabel 6. Rangkuman Hasil Penyelidikan Batas Cair Tanah

| Kedalaman (m) | Lokasi pengambilan contoh tanah | Batas Cair (%) |
|------------------|---------------------------------------|----------------|
| 1 | 1 | 56.45 |
| | 2 | 56.11 |
| | 3 | 57.28 |
| 2 | 1 | 54.66 |
| | 2 | 54.70 |
| | 3 | 52.64 |
| 3 | 1 | 52.88 |
| | 2 | 53.75 |
| | 3 | 53.57 |

Tabel 7. Rangkuman Hasil Penyelidikan Batas Plastis Tanah

| Kedalaman (m) | Lokasi pengambilan contoh tanah | Batas Plastis (%) |
|------------------|---------------------------------------|----------------------|
| 1 | 1 | 26.79 |
| | 2 | 24.50 |
| | 3 | 21.36 |
| 2 | 1 | 27.29 |
| | 2 | 27.33 |
| | 3 | 27.72 |
| 3 | 1 | 33.50 |
| | 2 | 33.91 |
| | 3 | 32.84 |

Tabel 8. Rangkuman Nilai Indeks Plastisitas Tanah

| Kedalaman (m) | Lokasi pengambilan contoh tanah | Indeks Plastisitas (IP) |
|------------------|------------------------------------|----------------------------|
| 1 | 1 | 29.66 |
| | 2 | 31.61 |
| | 3 | 35.92 |
| 2 | 1 | 27.67 |
| | 2 | 27.37 |
| | 3 | 27.37 |
| 3 | 1 | 19.38 |
| | 2 | 19.84 |
| | 3 | 20.72 |

Tabel 9. Rangkuman Hasil Penyelidikan Batas Susut Tanah

| Kedalaman (m) | Lokasi pengambilan contoh tanah | Batas Susut (%) |
|------------------|---------------------------------------|-----------------|
| 1 | 1 | 22.80 |
| | 2 | 22.58 |
| | 3 | 21.25 |
| 2 | 1 | 24.60 |
| | 2 | 26.62 |
| | 3 | 25.65 |
| 3 | 1 | 27.78 |
| | 2 | 25.81 |
| | 3 | 24.12 |

Tabel 10. Rangkuman Hasil Tes Triaksial UU untuk Kedalaman 1 Meter

| Lokasi | σ_3 (kg/cm ²) | σ_I (kg/cm ²) | γ_b (kg/cm ³) | ϕ (°) | c (kg/cm ²) |
|--------|-------------------------------------|-------------------------------------|-------------------------------------|---------------|----------------------------|
| I | 0.6 | 1.018 | 1.37 | 3 | 0.164 |
| | 1.2 | 1.619 | | | |
| | 1.8 | 2.219 | | | |
| II | 0.6 | 1.059 | 1.41 | 5 | 0.169 |
| | 1.2 | 1.657 | | | |
| | 1.8 | 2.258 | | | |
| III | 0.6 | 0.976 | 1.45 | 4 | 0.161 |
| | 1.2 | 1.577 | | | |
| | 1.8 | 2.179 | | | |

Tabel 11. Rangkuman Hasil Tes Triaksial UU untuk Kedalaman 2 Meter

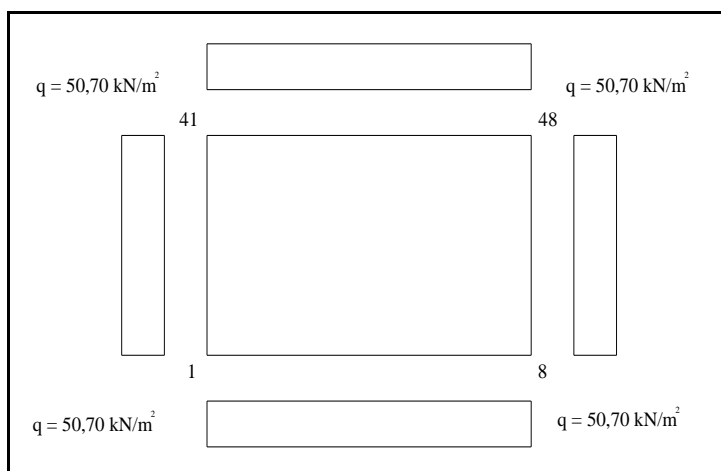
| Lokasi | σ_3 (kg/cm ²) | σ_I (kg/cm ²) | γ_b (kg/cm ³) | ϕ (°) | c (kg/cm ²) |
|--------|-------------------------------------|-------------------------------------|-------------------------------------|---------------|----------------------------|
| I | 0.6 | 0.992 | 1.47 | 6 | 0.159 |
| | 1.2 | 1.592 | | | |
| | 1.8 | 2.193 | | | |
| II | 0.6 | 0.988 | 1.38 | 5 | 0.162 |
| | 1.2 | 1.588 | | | |
| | 1.8 | 2.189 | | | |
| III | 0.6 | 1.023 | 1.49 | 3 | 0.161 |
| | 1.2 | 1.622 | | | |
| | 1.8 | 2.222 | | | |

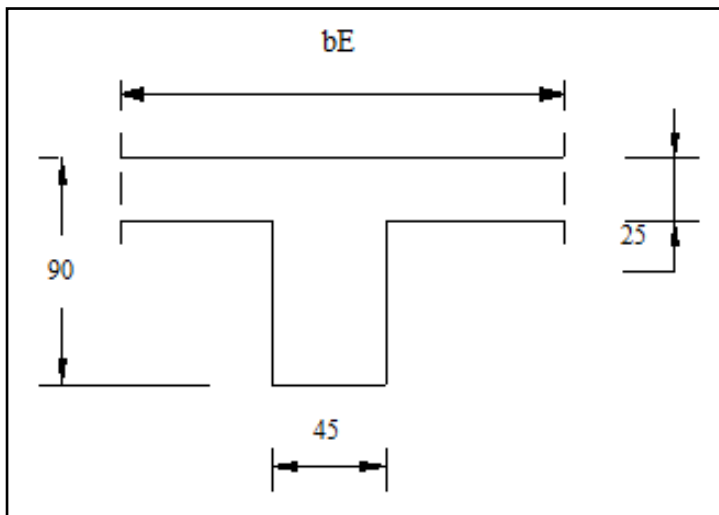
Tabel 12. Rangkuman Hasil Tes Triaksial UU untuk Kedalaman 4 Meter

| Lokasi | σ_3 (kg/cm ²) | σ_I (kg/cm ²) | γ_b (kg/cm ³) | ϕ (°) | c (kg/cm ²) |
|--------|-------------------------------------|-------------------------------------|-------------------------------------|---------------|------------------------------|
| I | 0.6 | 0.968 | 1.48 | 5 | 0.156 |
| | 1.2 | 1.568 | | | |
| | 1.8 | 2.168 | | | |
| II | 0.6 | 0.996 | 1.36 | 6 | 0.150 |
| | 1.2 | 1.596 | | | |
| | 1.8 | 2.196 | | | |
| III | 0.6 | 0.935 | 1.48 | 4 | 0.158 |
| | 1.2 | 1.553 | | | |
| | 1.8 | 2.152 | | | |

Tabel 13. Rangkuman Nilai Daya Dukung Ijin Tanah Untuk Tiap Kedalaman

| Kedalaman (meter) | Titik (Lokasi) | Nilai daya dukung ijin (qa) (kN/m ²) | Nilai daya dukung ijin rata-rata (qa)(kN/m ²) |
|----------------------|-------------------|--|--|
| 1 | 1 | 54.09 | 57.54 |
| | 2 | 61.92 | |
| | 3 | 56.62 | |
| 2 | 1 | 67.54 | 63.14 |
| | 2 | 64.52 | |
| | 3 | 57.37 | |
| 4 | 1 | 69.63 | 69.18 |
| | 2 | 71.40 | |
| | 3 | 66.51 | |

**Gambar 3. Diagram Tegangan Ijin Tanah**



Gambar 4. Penampang Balok Pondasi yang Direncanakan

Tabel 14. Hasil Perhitungan Penulangan Pelat Pondasi Arah X

| Tipe | Ukuran Pelat (cm) | Jenis Momen | Mu (kN/m) | Mn (kN/m) | Tulangan (mm) |
|------|-------------------|-------------|-----------|-----------|---------------|
| A | 60 × 70 | Lapangan | 59,319 | 74,149 | 016-165 |
| | | Tumpuan | 111,337 | 139,172 | 016-85 |
| B | 60 × 60 | Lapangan | 45,630 | 57,038 | 016-200 |
| | | Tumpuan | 93,085 | 116,357 | 016-100 |
| C | 30 × 70 | Lapangan | 110,729 | 138,411 | 016-85 |
| | | Tumpuan | 150,883 | 188,604 | 016-60 |
| D | 30 × 60 | Lapangan | 105,862 | 132,327 | 016-90 |
| | | Tumpuan | 149,666 | 187,083 | 016-60 |
| E | 30 × 30 | Lapangan | 45,630 | 57,038 | 016-200 |
| | | Tumpuan | 93,085 | 116,357 | 016-100 |

Tabel 15. Hasil Perhitungan Penulangan Pelat Pondasi Arah Y

| Tipe | Ukuran Pelat (cm) | Jenis Momen | Mu (kN/m) | Mn (kN/m) | Tulangan (mm) |
|------|-------------------|-------------|-----------|-----------|---------------|
| A | 60 × 70 | Lapangan | 41,067 | 51,334 | 016-200 |
| | | Tumpuan | 97,648 | 122,060 | 016-85 |
| B | 60 × 60 | Lapangan | 45,630 | 57,038 | 016-200 |
| | | Tumpuan | 93,085 | 116,357 | 016-90 |
| C | 30 × 70 | Lapangan | 24,336 | 30,420 | 016-350 |
| | | Tumpuan | 90,652 | 113,315 | 016-90 |
| D | 30 × 60 | Lapangan | 27,378 | 34,223 | 016-350 |
| | | Tumpuan | 96,736 | 120,920 | 016-85 |
| E | 30 × 30 | Lapangan | 45,630 | 57,038 | 016-200 |
| | | Tumpuan | 93,085 | 116,357 | 016-90 |

Tabel 16. Hasil Perhitungan Penulangan Lentur Arah Y untuk Balok I - IV

| Balok | Bentang (kNm) | Jenis Momen | Mu (kNm) | Mn (kNm) | Tulangan |
|-------|------------------|----------------|-------------|-------------|----------|
| I | 1-9 | Tumpuan | 207,86 | 259,82 | 4 Ø22 |
| | | Lapangan | 13,24 | 16,55 | 4 Ø22 |
| | 9-17 | Tumpuan | 297,75 | 372,18 | 4 Ø22 |
| | | Lapangan | 172,25 | 215,31 | 4 Ø22 |
| | 17-25 | Tumpuan | 297,75 | 372,18 | 4 Ø22 |
| | | Lapangan | 127,30 | 159,12 | 4 Ø22 |
| | 25-33 | Tumpuan | 297,75 | 372,18 | 4 Ø22 |
| | | Lapangan | 172,25 | 215,31 | 4 Ø22 |
| | 33-41 | Tumpuan | 207,86 | 259,82 | 4 Ø22 |
| | | Lapangan | 13,24 | 16,55 | 4 Ø22 |
| II | 2-10 | Tumpuan | 449,69 | 562,11 | 5 Ø22 |
| | | Lapangan | 39,57 | 49,46 | 4 Ø22 |
| | 10-18 | Tumpuan | 656,69 | 820,86 | 8 Ø22 |
| | | Lapangan | 382,16 | 477,70 | 5 Ø22 |
| | 18-26 | Tumpuan | 656,59 | 820,73 | 8 Ø22 |
| | | Lapangan | 278,66 | 348,32 | 4 Ø22 |
| | 26-34 | Tumpuan | 656,69 | 820,86 | 8 Ø22 |
| | | Lapangan | 382,16 | 477,70 | 5 Ø22 |
| | 34-42 | Tumpuan | 449,69 | 562,11 | 5 Ø22 |
| | | Lapangan | 39,57 | 49,46 | 4 Ø22 |
| III | 3-11 | Tumpuan | 606,17 | 757,71 | 7 Ø22 |
| | | Lapangan | 79,59 | 99,487 | 4 Ø22 |
| | 11-19 | Tumpuan | 869,03 | 1086,28 | 10 Ø22 |
| | | Lapangan | 523,58 | 654,47 | 6 Ø22 |
| | 19-27 | Tumpuan | 869,03 | 1086,28 | 10 Ø22 |
| | | Lapangan | 378,52 | 473,15 | 5 Ø22 |
| | 27-35 | Tumpuan | 869,03 | 1086,28 | 10 Ø22 |
| | | Lapangan | 523,58 | 654,47 | 6 Ø22 |
| | 35-43 | Tumpuan | 606,17 | 757,71 | 7 Ø22 |
| | | Lapangan | 79,59 | 99,49 | 4 Ø22 |
| IV | 4-12 | Tumpuan | 520,87 | 651,08 | 6 Ø22 |
| | | Lapangan | 67,25 | 84,06 | 4 Ø22 |
| | 12-20 | Tumpuan | 769,69 | 962,11 | 9 Ø22 |
| | | Lapangan | 449,54 | 561,93 | 5 Ø22 |
| | 20-28 | Tumpuan | 769,69 | 962,11 | 9 Ø22 |
| | | Lapangan | 325,13 | 406,41 | 4 Ø22 |
| | 28-36 | Tumpuan | 769,69 | 962,11 | 9 Ø22 |
| | | Lapangan | 449,54 | 561,93 | 5 Ø22 |
| | 36-44 | Tumpuan | 520,87 | 651,09 | 6 Ø22 |
| | | Lapangan | 67,25 | 84,06 | 4 Ø22 |

Tabel 17. Hasil Perhitungan Penulangan Lentur Arah Y untuk Balok V- VIII

| Balok | Bentang | Jenis Momen | Mu (kNm) | Mn (kNm) | Tulangan |
|-------|---------|-------------|----------|----------|----------|
| VIII | 8-16 | Tumpuan | 207,86 | 259,83 | 4 022 |
| | | Lapangan | 13,24 | 16,55 | 4 022 |
| | 16-24 | Tumpuan | 297,75 | 372,19 | 4 022 |
| | | Lapangan | 172,25 | 215,31 | 4 022 |
| | 24-32 | Tumpuan | 297,75 | 372,19 | 4 022 |
| | | Lapangan | 127,30 | 159,13 | 4 022 |
| | 32-40 | Tumpuan | 297,75 | 372,19 | 4 022 |
| | | Lapangan | 172,25 | 215,31 | 4 022 |
| | 40-48 | Tumpuan | 207,86 | 259,83 | 4 022 |
| | | Lapangan | 13,24 | 16,55 | 4 022 |
| VII | 7-15 | Tumpuan | 449,69 | 562,11 | 5 022 |
| | | Lapangan | 39,57 | 49,46 | 4 022 |
| | 15-23 | Tumpuan | 656,69 | 820,86 | 8 022 |
| | | Lapangan | 382,16 | 477,70 | 5 022 |
| | 23-31 | Tumpuan | 656,59 | 820,74 | 8 022 |
| | | Lapangan | 278,66 | 348,33 | 4 022 |
| | 31-39 | Tumpuan | 656,69 | 820,86 | 8 022 |
| | | Lapangan | 382,16 | 477,70 | 5 022 |
| | 39-47 | Tumpuan | 449,69 | 562,11 | 5 022 |
| | | Lapangan | 39,57 | 49,46 | 4 022 |
| VI | 6-14 | Tumpuan | 606,17 | 757,71 | 7 022 |
| | | Lapangan | 79,59 | 99,49 | 4 022 |
| | 14-22 | Tumpuan | 869,03 | 1086,29 | 10 022 |
| | | Lapangan | 523,58 | 654,48 | 6 022 |
| | 22-30 | Tumpuan | 869,03 | 1086,29 | 10 022 |
| | | Lapangan | 378,52 | 473,15 | 5 022 |
| | 30-38 | Tumpuan | 869,03 | 1086,29 | 10 022 |
| | | Lapangan | 523,58 | 654,48 | 6 022 |
| | 38-46 | Tumpuan | 606,17 | 757,71 | 7 022 |
| | | Lapangan | 79,59 | 99,49 | 4 022 |
| V | 5-13 | Tumpuan | 520,87 | 651,09 | 6 022 |
| | | Lapangan | 67,25 | 84,06 | 4 022 |
| | 13-21 | Tumpuan | 769,69 | 962,11 | 9 022 |
| | | Lapangan | 449,54 | 561,93 | 5 022 |
| | 21-29 | Tumpuan | 769,69 | 962,11 | 9 022 |
| | | Lapangan | 325,13 | 406,41 | 4 022 |
| | 29-37 | Tumpuan | 769,69 | 962,11 | 9 022 |
| | | Lapangan | 449,54 | 561,93 | 5 022 |
| | 37-45 | Tumpuan | 520,87 | 651,09 | 6 022 |
| | | Lapangan | 67,25 | 84,06 | 4 022 |

Tabel 18. Hasil Perhitungan Penulangan Lentur Arah X untuk Balok A – C

| Balok | Bentang | Jenis Momen | Mu (kNm) | Mn (kNm) | Tulangan |
|-------|---------|-------------|----------|----------|----------|
| A | 1-2 | Tumpuan | 307,65 | 384,563 | 4 Ø22 |
| | | Lapangan | 43,40 | 54,250 | 4 Ø22 |
| | 2-3 | Tumpuan | 367,99 | 459,988 | 4 Ø22 |
| | | Lapangan | 252,23 | 315,288 | 4 Ø22 |
| | 3-4 | Tumpuan | 367,99 | 459,988 | 4 Ø22 |
| | | Lapangan | 107,43 | 134,288 | 4 Ø22 |
| | 4-5 | Tumpuan | 267,25 | 334,063 | 4 Ø22 |
| | | Lapangan | 157,80 | 197,250 | 4 Ø22 |
| | 5-6 | Tumpuan | 267,25 | 334,063 | 4 Ø22 |
| | | Lapangan | 157,80 | 197,250 | 4 Ø22 |
| | 6-7 | Tumpuan | 367,99 | 459,988 | 4 Ø22 |
| | | Lapangan | 107,43 | 134,288 | 4 Ø22 |
| | 7-8 | Tumpuan | 307,65 | 384,563 | 4 Ø22 |
| | | Lapangan | 43,40 | 54,250 | 4 Ø22 |
| B | 9-10 | Tumpuan | 696,41 | 870,513 | 8 Ø22 |
| | | Lapangan | 135,52 | 169,400 | 4 Ø22 |
| | 10-11 | Tumpuan | 830,22 | 1037,775 | 10 Ø22 |
| | | Lapangan | 581,56 | 726,950 | 7 Ø22 |
| | 11-12 | Tumpuan | 830,22 | 1037,775 | 10 Ø22 |
| | | Lapangan | 228,14 | 285,175 | 4 Ø22 |
| | 12-13 | Tumpuan | 584,21 | 730,263 | 7 Ø22 |
| | | Lapangan | 351,15 | 438,938 | 4 Ø22 |
| | 13-14 | Tumpuan | 830,22 | 1037,775 | 10 Ø22 |
| | | Lapangan | 228,14 | 285,175 | 4 Ø22 |
| | 14-15 | Tumpuan | 830,22 | 1037,775 | 10 Ø22 |
| | | Lapangan | 581,56 | 726,950 | 7 Ø22 |
| | 15-16 | Tumpuan | 696,41 | 870,513 | 8 Ø22 |
| | | Lapangan | 135,52 | 169,400 | 4 Ø22 |
| C | 17-18 | Tumpuan | 867,4 | 1084,35 | 10 Ø22 |
| | | Lapangan | 202,0 | 252,5625 | 4 Ø22 |
| | 18-19 | Tumpuan | 1013,11 | 1266,388 | 12 Ø22 |
| | | Lapangan | 734,12 | 917,65 | 9 Ø22 |
| | 19-20 | Tumpuan | 1013,11 | 1266,388 | 12 Ø22 |
| | | Lapangan | 250,03 | 312,5375 | 4 Ø22 |
| | 20-21 | Tumpuan | 675,93 | 844,9125 | 8 Ø22 |
| | | Lapangan | 418,89 | 523,6125 | 5 Ø22 |
| | 21-22 | Tumpuan | 1013,11 | 1266,388 | 12 Ø22 |
| | | Lapangan | 250,03 | 312,5375 | 4 Ø22 |
| | 22-23 | Tumpuan | 1013,11 | 1266,388 | 12 Ø22 |
| | | Lapangan | 734,12 | 917,65 | 9 Ø22 |
| | 23-24 | Tumpuan | 867,48 | 1084,35 | 10 Ø22 |
| | | Lapangan | 202,05 | 252,5625 | 4 Ø22 |

Tabel 19. Hasil Perhitungan Penulangan Lentur Arah X untuk Balok D - F

| Balok | Bentang | Jenis Momen | Mu (kNm) | Mn (kNm) | Tulangan |
|-------|---------|-------------|----------|----------|----------|
| F | 47-48 | Tumpuan | 307,650 | 384,563 | 4 022 |
| | | Lapangan | 43,400 | 54,250 | 4 022 |
| | 46-47 | Tumpuan | 367,990 | 459,988 | 4 022 |
| | | Lapangan | 252,230 | 315,288 | 4 022 |
| | 45-46 | Tumpuan | 367,990 | 459,988 | 4 022 |
| | | Lapangan | 107,430 | 134,288 | 4 022 |
| | 44-45 | Tumpuan | 267,250 | 334,063 | 4 022 |
| | | Lapangan | 157,800 | 197,250 | 4 022 |
| | 43-44 | Tumpuan | 267,250 | 334,063 | 4 022 |
| | | Lapangan | 157,800 | 197,250 | 4 022 |
| | 42-43 | Tumpuan | 367,990 | 459,988 | 4 022 |
| | | Lapangan | 107,430 | 134,288 | 4 022 |
| | 41-42 | Tumpuan | 307,650 | 384,563 | 4 022 |
| | | Lapangan | 43,400 | 54,250 | 4 022 |
| E | 39-40 | Tumpuan | 696,410 | 870,513 | 8 022 |
| | | Lapangan | 135,520 | 169,400 | 4 022 |
| | 38-39 | Tumpuan | 830,220 | 1037,775 | 10 022 |
| | | Lapangan | 581,560 | 726,950 | 7 022 |
| | 37-38 | Tumpuan | 830,220 | 1037,775 | 10 022 |
| | | Lapangan | 228,140 | 285,175 | 4 022 |
| | 36-37 | Tumpuan | 584,210 | 730,263 | 7 022 |
| | | Lapangan | 351,150 | 438,938 | 4 022 |
| | 35-36 | Tumpuan | 830,220 | 1037,775 | 10 022 |
| | | Lapangan | 228,140 | 285,175 | 4 022 |
| | 34-35 | Tumpuan | 830,220 | 1037,775 | 10 022 |
| | | Lapangan | 581,560 | 726,950 | 7 022 |
| | 33-34 | Tumpuan | 696,410 | 870,513 | 8 022 |
| | | Lapangan | 135,520 | 169,400 | 4 022 |
| D | 31-32 | Tumpuan | 867,48 | 1084,35 | 10 022 |
| | | Lapangan | 202,05 | 252,5625 | 4 022 |
| | 30-31 | Tumpuan | 1013,11 | 1266,388 | 12 022 |
| | | Lapangan | 734,12 | 917,65 | 9 022 |
| | 29-30 | Tumpuan | 1013,11 | 1266,388 | 12 022 |
| | | Lapangan | 250,03 | 312,5375 | 4 022 |
| | 28-29 | Tumpuan | 675,93 | 844,9125 | 8 022 |
| | | Lapangan | 418,89 | 523,6125 | 5 022 |
| | 27-28 | Tumpuan | 1013,11 | 1266,388 | 12 022 |
| | | Lapangan | 250,03 | 312,5375 | 4 022 |
| | 26-27 | Tumpuan | 1013,11 | 1266,388 | 12 022 |
| | | Lapangan | 734,12 | 917,65 | 9 022 |
| | 25-26 | Tumpuan | 867,48 | 1084,35 | 10 022 |
| | | Lapangan | 202,05 | 252,5625 | 4 022 |

Tabel 20. Hasil Perhitungan Penulangan Geser Arah X Balok A – D

| Balok | Bentang | V _u (kN) | V _n (kN) | V _s (kN) | Tulangan |
|-------|---------|------------------------|---------------------|---------------------|----------|
| A | 1-2 | 226,81 | 378,017 | 75,392 | 012-40 |
| | 2-3 | 345,79 | 576,317 | 273,692 | 012-25 |
| | 3-4 | 300,16 | 500,267 | 197,642 | 012-40 |
| | 4-5 | 283,37 | 472,283 | 169,658 | 012-40 |
| | 5-6 | 300,16 | 500,267 | 197,642 | 012-40 |
| | 6-7 | 345,79 | 576,317 | 273,692 | 012-25 |
| | 7-8 | 226,81 | 378,017 | 75,392 | 012-40 |
| B | 9-10 | 472,15 | 786,917 | 484,292 | 012-15 |
| | 10-11 | 787,62 | 1312,700 | 1010,075 | 012-5 |
| | 11-12 | 664,57 | 1107,617 | 804,992 | 012-10 |
| | 12-13 | 623,57 | 1039,283 | 736,658 | 012-10 |
| | 13-14 | 664,57 | 1107,617 | 804,992 | 012-10 |
| | 14-15 | 787,62 | 1312,700 | 1010,075 | 012-5 |
| | 15-16 | 472,15 | 786,9167 | 484,292 | 012-15 |
| C | 17-18 | 551,35 | 918,9167 | 616,292 | 012-10 |
| | 18-19 | 977,61 | 1629,35 | 1326,725 | 012-5 |
| | 19-20 | 786,08 | 1310,133 | 1007,508 | 012-5 |
| | 20-21 | 729,88 | 1216,467 | 913,842 | 012-5 |
| | 21-22 | 786,08 | 1310,133 | 1007,508 | 012-5 |
| | 22-23 | 977,61 | 1629,35 | 1326,725 | 012-5 |
| | 23-24 | 551,35 | 918,917 | 616,292 | 012-10 |
| F | 47-48 | 226,81 | 378,017 | 75,392 | 012-40 |
| | 46-47 | 345,79 | 576,317 | 273,692 | 012-25 |
| | 45-46 | 300,16 | 500,267 | 197,642 | 012-40 |
| | 44-45 | 283,37 | 472,283 | 169,658 | 012-40 |
| | 43-44 | 300,16 | 500,267 | 197,642 | 012-35 |
| | 42-43 | 345,79 | 576,317 | 273,692 | 012-25 |
| | 41-42 | 226,81 | 378,017 | 75,392 | 012-40 |
| E | 39-40 | 472,15 | 786,917 | 484,292 | 012-15 |
| | 38-39 | 787,62 | 1312,700 | 1010,075 | 012-5 |
| | 37-38 | 664,57 | 1107,617 | 804,992 | 012-10 |
| | 36-37 | 623,57 | 1039,283 | 736,658 | 012-10 |
| | 35-36 | 664,57 | 1107,617 | 804,992 | 012-10 |
| | 34-35 | 787,62 | 1312,700 | 1010,075 | 012-5 |
| | 33-34 | 472,15 | 786,917 | 484,292 | 012-15 |
| D | 31-32 | 551,35 | 918,917 | 616,292 | 012-10 |
| | 30-31 | 977,61 | 1629,35 | 1326,725 | 012-5 |
| | 29-30 | 786,08 | 1310,133 | 1007,508 | 012-5 |
| | 28-29 | 729,88 | 1216,467 | 913,842 | 012-5 |
| | 27-28 | 786,08 | 1310,133 | 1007,508 | 012-5 |
| | 26-27 | 977,61 | 1629,35 | 1326,725 | 012-5 |
| | 25-26 | 551,35 | 918,917 | 616,292 | 012-10 |

Tabel 21. Hasil Perhitungan Penulangan Geser Arah Y untuk Balok I – V

| Balok | Bentang | Vu (kN) | Vn (kN) | Vs (kN) | Tulangan |
|-------|---------|---------|----------|----------------------------|----------|
| I | 1-9 | 180,61 | 301,017 | Tidak perlu tulangan geser | Ø12-40 |
| | 9-17 | 298,35 | 497,250 | 194,625 | Ø12-35 |
| | 17-25 | 283,37 | 472,283 | 169,658 | Ø12-40 |
| | 25-33 | 298,35 | 497,250 | 194,625 | Ø12-35 |
| | 33-41 | 180,61 | 301,017 | Tidak perlu tulangan geser | Ø12-40 |
| II | 2-10 | 357,93 | 596,550 | 293,925 | Ø12-20 |
| | 10-18 | 658,07 | 1096,783 | 794,158 | Ø12-5 |
| | 18-26 | 623,57 | 1039,283 | 736,658 | Ø12-5 |
| | 26-34 | 658,07 | 1096,783 | 794,158 | Ø12-5 |
| | 34-42 | 357,93 | 596,550 | 293,925 | Ø12-20 |
| III | 3-11 | 453,43 | 755,717 | 453,092 | Ø12-15 |
| | 11-19 | 893,23 | 1488,717 | 1186,092 | Ø12-5 |
| | 19-27 | 849,88 | 1416,467 | 1113,842 | Ø12-5 |
| | 27-35 | 893,23 | 1488,717 | 1186,092 | Ø12-5 |
| | 35-43 | 453,43 | 755,717 | 453,092 | Ø12-15 |
| IV | 4-12 | 390,88 | 651,467 | 348,842 | Ø12-20 |
| | 12-20 | 771,35 | 1285,583 | 982,958 | Ø12-5 |
| | 20-28 | 729,88 | 1216,467 | 913,842 | Ø12-5 |
| | 28-36 | 771,35 | 1285,583 | 982,958 | Ø12-5 |
| | 36-44 | 390,88 | 651,467 | 348,842 | Ø12-20 |
| VIII | | | | Tidak perlu tulangan geser | |
| | 8-16 | 180,61 | 301,017 | 194,625 | Ø12-40 |
| | 16-24 | 298,35 | 497,250 | 169,658 | Ø12-40 |
| | 24-32 | 283,37 | 472,283 | 194,625 | Ø12-35 |
| | 32-40 | 298,35 | 497,250 | 194,625 | Ø12-35 |
| VII | | | | Tidak perlu tulangan geser | |
| | 40-48 | 180,61 | 301,017 | 293,925 | Ø12-40 |
| | 7-15 | 357,93 | 596,550 | 794,158 | Ø12-5 |
| | 15-23 | 658,07 | 1096,783 | 736,658 | Ø12-5 |
| | 23-31 | 623,57 | 1039,283 | 794,158 | Ø12-5 |
| VI | 31-39 | 658,07 | 1096,783 | 913,842 | Ø12-5 |
| | 39-47 | 357,93 | 596,550 | 1186,092 | Ø12-20 |
| | 6-14 | 453,43 | 755,717 | 453,092 | Ø12-15 |
| | 14-22 | 893,23 | 1488,717 | 982,958 | Ø12-5 |
| | 22-30 | 849,88 | 1416,467 | 1113,842 | Ø12-5 |
| V | 30-38 | 893,23 | 1488,717 | 1186,092 | Ø12-5 |
| | 38-46 | 453,43 | 755,717 | 453,092 | Ø12-15 |
| | 5-13 | 390,88 | 651,467 | 348,842 | Ø12-20 |
| | 13-21 | 771,35 | 1285,583 | 982,958 | Ø12-5 |
| | 21-29 | 729,88 | 1216,467 | 913,842 | Ø12-5 |
| | 29-37 | 771,35 | 1285,583 | 982,958 | Ø12-5 |
| | 37-45 | 390,88 | 651,467 | 348,842 | Ø12-20 |

5 SIMPULAN DAN SARAN

5.1 Simpulan

Berdasarkan studi yang dilakukan mulai dari pengambilan sampel, pengumpulan data di laboratorium, sampai dengan analisa data-data dan pembahasan dapat ditarik kesimpulan sebagai berikut:

1. Berdasarkan test triaksial UU (*unconsolidated undrained*) untuk tanah lempung di daerah Suwung Kauh diperoleh nilai daya dukung ijin terendah, pada kedalaman 1 meter $(q_a) = 54,09 \text{ kN/m}^2$ yaitu pada titik 1, pada kedalaman 2 meter $(q_a) = 57,37 \text{ kN/m}^2$ yaitu pada titik 3 dan pada kedalaman 4 meter $(q_a) = 66,51 \text{ kN/m}^2$ yaitu pada titik 3.
2. Perencanaan pondasi telapak dengan daya dukung ijin (q_a) berdasarkan test triaksial UU (*unconsolidated undrained*) pada tanah lempung di daerah Suwung Kauh pada kedalaman 1 meter, 2 meter dan 4 meter tidak memberikan dimensi pondasi telapak yang cukup memadai dengan beban aksial kolom $(P_u) = 2253,122 \text{ kN}$ atau lebih, karena akan memperoleh dimensi pondasi telapak yang sangat besar sehingga akan menutupi seluruh luas bangunan.
3. Perencanaan pondasi pelat pada daerah Suwung Kauh berdasarkan nilai daya dukung ijin tanah dengan test triaksial UU (*Unconsolidated Undrained*) untuk beban total bangunan $P = 46235,664 \text{ kN}$ dan luas pondasi yang sama yaitu sebesar 912 m^2

pada kedalaman 1 meter, 2 meter dan 4 meter, memberikan nilai tegangan tanah maksimum yang lebih rendah dari daya dukung ijin. Yaitu $(q) = 50,7 \text{ kN/m}^2 < (q_a) = 57,34 \text{ kN/m}^2$ pada kedalaman 1 meter, $(q) = 50,7 \text{ kN/m}^2 < (q_a) = 63,14 \text{ kN/m}^2$ pada kedalaman 2 meter dan $(q) = 50,7 \text{ kN/m}^2 < (q_a) = 69,18 \text{ kN/m}^2$ pada kedalaman 4 meter. Sehingga perencanaan pondasi sudah cukup dilakukan pada kedalaman 1 meter karena daya dukung tanahnya telah memenuhi syarat.

5.2 Saran

Dari penelitian ini dapat disarankan sebagai berikut:

1. Perlu diadakan penelitian nilai daya dukung tanah di daerah Suwung Kauh dengan jenis test mekanik lainnya.
2. Dalam merencanakan pondasi dangkal di daerah Suwung Kauh untuk beban yang sangat besar misalnya dengan beban aksial kolom $(P_u) = 2253,122 \text{ kN}$ atau lebih sebaiknya digunakan pondasi pelat atau dengan memakai jenis pondasi yang lain misalnya pondasi tiang pancang.

6 DAFTAR PUSTAKA

Bowles, J. E, 1983, *Analisa dan Disain Pondasi. Jilid 1*, Penerbit Erlangga, Jakarta.

Craig, R. F. dan Budi Susilo S. (Penterjemah), 1989, *Mekanika Tanah*, Penerbit Erlangga, Jakarta.

Das, Braja M, 1993, *Mekanika Tanah (Prinsip-prinsip Rekayasa Geoteknis)*. Jilid 1, Penerbit Erlangga, Jakarta.

Departemen Pekerjaan Umum, 1991, *Tata Cara Perhitungan Struktur Beton untuk Bangunan Gedung (SK SNI T-15-1991-03)*, Cetakan Pertama, Yayasan LPMB, Bandung.

Redana, I W., 2010, *Teknik Pondasi*, Udayana University Press, Denpasar.